

# Anti-lock Braking System のゲインスケジューリング制御

2010SE274 山崎 久嗣

指導教員：高見 勲

## 1 はじめに

本研究では, Anti-lock Braking System に対しゲインスケジューリング制御を用いてスリップ率の安定化を行う. 今回, 車体速度をスケジューリングパラメータと捉える. また, ディスクリプタ表現を用い, LMI で定式化し, 理論的に安定性を保証する.

## 2 制御対象とモデリング

### 2.1 状態方程式の導出と線形化

本研究で用いる ABS 実験機の簡略したモデルを図 1 に示す. 上の車輪が車の車輪, 下の車輪が道路を表している.

本研究では, 車体速度  $V[\text{km/h}]$  が  $10 \leq V \leq 50$  において上の車輪にかかるブレーキトルク  $\tau_1$  を操作することでスリップ率  $\lambda$  を車輪間の摩擦係数  $\mu$  が最大となるスリップ率 0.2 に追従させる制御則を設計する.

上の車輪, 下の車輪の角速度を  $\omega_1(t), \omega_2(t)$ , 上の車輪, 下の車輪の半径を  $r_1, r_2$ , バランスレバーの回転軸から車輪間の接点までの距離を  $L$ , 線分  $L$  と車輪間の接点の法線がなす角を  $\varphi$  とする. 以下から角速度  $\omega_1(t), \omega_2(t)$  の  $(t)$  は省略する.

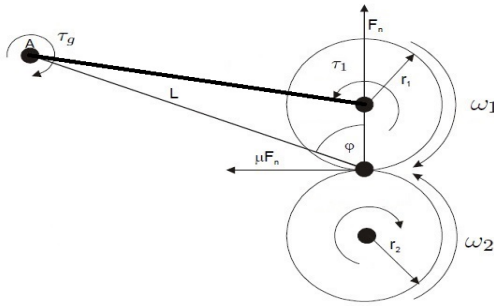


図 1 ABS 実験機の簡略図

上の車輪と下の車輪の回転運動方程式, スリップ率は下式で表す.

$$J_1 \dot{\omega}_1 = F_n r_1 \mu - \tau_1 \quad (1)$$

$$J_2 \dot{\omega}_2 = -F_n r_2 \mu \quad (2)$$

$$\lambda = \frac{r_2 \omega_2 - r_1 \omega_1}{r_2 \omega_2} \quad (3)$$

垂直効力  $F_n$  は下式で表す.

$$F_n = \frac{\tau_g + \tau_1}{L(\sin(\varphi) - \mu \cos(\varphi))} \quad (4)$$

式 (1),(2),(3),(4) より, 式 (5) を得る.

$$\dot{\lambda} = -\frac{1}{\omega_2} f(\lambda) - \frac{1}{\omega_2} g(\lambda) \tau_1, \omega_2 \neq 0 \quad (5)$$

ここで,  $f(\lambda), g(\lambda)$  は下式のようにになる.

$$f(\lambda) = \frac{r_1^2 \mu \tau_g}{J_1 r_2 L (\sin(\varphi) - \mu \cos(\varphi))} + \frac{r_2 \mu \tau_g (1 - \lambda)}{J_2 L (\sin(\varphi) - \mu \cos(\varphi))}$$

$$g(\lambda) = \frac{r_1^2 \mu}{J_1 r_2 L (\sin(\varphi) - \mu \cos(\varphi))} + \frac{r_2 \mu (1 - \lambda)}{J_2 L (\sin(\varphi) - \mu \cos(\varphi))} - \frac{r_1}{J_1 r_2}$$

式 (5) は非線形であるので, 平衡点  $(\lambda^*, \tau_1^*)$  のまわりで線形近似すると以下のようにになる [1].

$$\omega_2 \dot{\lambda} = \alpha(\lambda - \lambda^*) + \beta(\tau_1 - \tau_1^*) \quad (6)$$

ここで,  $\alpha, \beta$  は定数である.

### 2.2 拡大系の導出

本研究では, 出力を目標値に追従させるために制御ループ内にスリップ率の偏差の積分を状態変数に入れた. 状態変数を  $x(t) = [\int(\lambda - \lambda^*) dt \quad \lambda - \lambda^*]^T$ , 入力を  $u(t) = \tau_1 - \tau_1^*$  とするとシステムの拡大系は次式となる.

$$E(\omega_2) \dot{x}(t) = Ax(t) + Bu(t) \quad (7)$$

$$E = \begin{bmatrix} 1 & 0 \\ 0 & \omega_2 \end{bmatrix}, A = \begin{bmatrix} 0 & 1 \\ 0 & \alpha \end{bmatrix}, B = \begin{bmatrix} 0 \\ \beta \end{bmatrix}$$

### 2.3 ディスクリプタ表現

行列  $E$  には変動パラメータが存在する. 変動パラメータを一つの係数行列にまとめるために, ディスクリプタ変数を  $x_d(t) = [x(t) \quad \dot{\lambda}]^T$  とすると, 状態方程式のディスクリプタ表現は式 (8) となる.

$$E_d \dot{x}_d(t) = A_d(\omega_2) x_d(t) + B_d u(t) \quad (8)$$

$$E_d = \begin{bmatrix} 1 & 0 & 0 \\ 0 & 1 & 0 \\ 0 & 0 & 0 \end{bmatrix}, A_d = \begin{bmatrix} 0 & 1 & 0 \\ 0 & 0 & 1 \\ 0 & \alpha & -\omega_2 \end{bmatrix}, B_d = \begin{bmatrix} 0 \\ 0 \\ \beta \end{bmatrix}$$

## 3 制御系設計

設計に用いるスケジューリングパラメータ  $\theta = \omega_2$  とし,  $\theta = \theta_1, \bar{\theta} = \theta_2$  とする. 本研究は, 最適レギュレータ理論に基づくゲインスケジューリング制御器を設計する.

評価関数  $J$  を

$$J = \int_0^{\infty} (x(t)^T Q x(t) + u(t)^T R u(t)) dt \quad (9)$$

と定義し、評価関数  $J$  を最小化する LMI 条件は以下のようになる。

$$\begin{bmatrix} He[A_d(\theta_i)X_d + B_d Y_d(\theta_i)] & X_d^T(Q^{\frac{1}{2}})^T & Y_d(\theta_i)^T(R^{\frac{1}{2}})^T \\ Q^{\frac{1}{2}}X_d & -I & 0 \\ R^{\frac{1}{2}}Y_d(\theta_i) & 0 & -I \end{bmatrix} \prec 0 \quad (i = 1, 2) \quad (10)$$

$$\begin{bmatrix} W & I \\ I & X_d \end{bmatrix} \succ 0, \text{trace}(W) < \gamma \quad (11)$$

ただし、

$$X_d = P_d^{-1}, X_d^{-1} \prec W, Y_d(\theta) = K_d(\theta)X_d, J < \gamma$$

ここで、行列  $E_d$  の構造を考慮してリヤプノフ行列  $X_d$  と変数行列  $Y_d(\theta)$  を下式のように与える。

$$X_d = \begin{bmatrix} X & 0 \\ X_{21} & X_{22} \end{bmatrix} \quad (12)$$

$$Y_d(\theta) = [ Y(\theta) \quad 0 ] \quad (13)$$

$$Y(\theta) = Y_0 + \theta Y_1$$

また、 $C_d, D_d$  を下式のように与える。

$$C_d = [Q^{\frac{1}{2}} \quad 0], D_d = \begin{bmatrix} 0 \\ R^{\frac{1}{2}} \end{bmatrix} \quad (14)$$

スケジューリングパラメータ  $\theta$  の変動範囲内において安定化する GS コントローラを求めるための LMI 条件 (10)(11) は、式 (15) - (19) に用いて、以下のような LMI 条件に変換できる。

$$\text{minimize} : \gamma \quad (15)$$

$$\text{subject to} : X \succ 0 \quad (16)$$

$$\begin{bmatrix} He[A_d(\theta_i)X_d + B_d Y_d(\theta_i)] \\ C_d X_d + D_d Y_d(\theta_i) \\ X_d^T C_d^T + Y_d(\theta_i)^T D_d^T \\ -I_{3 \times 3} \end{bmatrix} \prec 0 \quad (17)$$

$$\begin{bmatrix} W & I \\ I & X \end{bmatrix} \succ 0 \quad (18)$$

$$\text{trace}(W) < \gamma^2 \quad (19) \\ (i = 1, 2)$$

式 (15) - (19) を満たす  $X_d, Y_d(\theta)$  が存在すれば、システムは安定であり、ディスクリプタ表現の枠組みにおける GS コントローラ  $K_d(\theta)$  は下式で与えられる

$$K_d(\theta) = [ Y(\theta)X^{-1} \quad 0 ]$$

## 4 シミュレーションと実験

求めた GS コントローラを用いてシミュレーションと実験を行なった。スリップ率、上下の車輪速度のシミュレーション結果と実験結果を図 2、図 3 に、ゲインスケジューリング制御とロバスト LQ 制御のスリップ率の実験結果の比較を図 4 に示す。グラフはブレーキをかけた直後であり、初期速度を 50[km/h] とする。

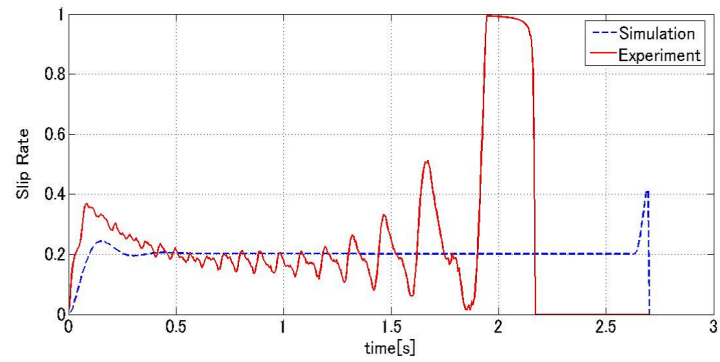


図 2 スリップ率

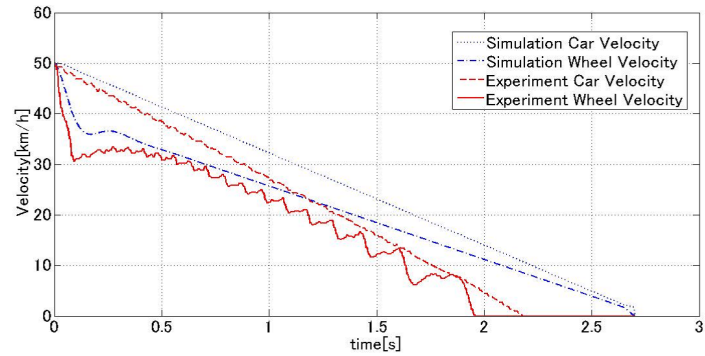


図 3 車輪速度と車体速度

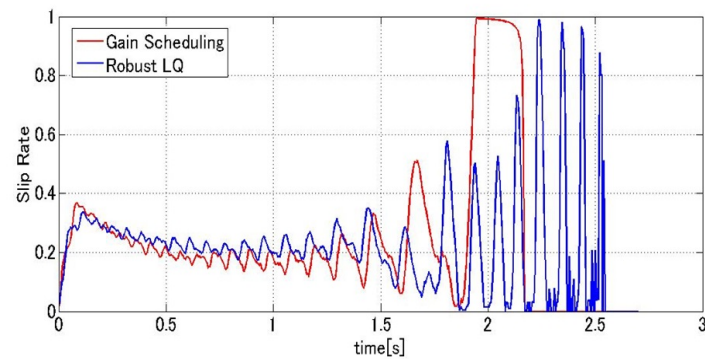


図 4 スリップ率における GS とロバスト LQ の比較

## 5 おわりに

ゲインスケジューリング制御を用いることで、ロバスト LQ 制御と比べて、制御性能が改善した。しかし、低速域で応答が大きく振動的であり、シミュレーションと実験結果の停止時間が異なる。今後の課題として、シミュレーションと実験結果との差が生じる原因を探し、応答の改善をしていきたい。

## 6 参考文献

- [1] Tor A. Johansen, Idar Petersen, Jens Kalkkuhl and Jens Ldemann, "Gain-scheduled Wheel Slip Control in Automotive Brake Systems", IEEE Transaction on Control System Technology, Vol.11, No.6, pp.799-811, 2003